

Московский физико-технический институт
(государственный университет)

Лабораторная работа по общему курсу физики
Электричество и магнетизм

3.6.1. Спектральный анализ

Глаз Роман Сергеевич
Группа Б01-007

Долгопрудный
2021

Содержание

1	Теоретическое введение	1
1.1	Периодические прямоугольные импульсы	1
1.2	Периодическая последовательность цугов	2
1.3	Амплитудно-модулированные колебания	3
2	Обработка данных	4
2.1	Периодические прямоугольные импульсы	4
2.2	Периодическая последовательность цугов	6
2.3	Амплитудно-модулированные колебания	9
2.4	Частотная модуляция	11
3	Заключение	12
4	Список используемой литературы	12

Цель работы: исследование спектра колебаний электрических сигналов.

В работе используются: персональный компьютер; USB-осциллограф АКИП-4107; функциональный генератор WaveStation2012; соединительные кабели.

1. Теоретическое введение

Используется разложение в сумму синусов и косинусов с различными аргументами или, как чаще его называют, *разложение в ряд Фурье*.

Пусть задана функция $f(t)$, которая периодически повторяется с частотой $\Omega_1 = \frac{2\pi}{T}$, где T — период повторения импульсов. Её разложение в ряд Фурье имеет вид

$$f(t) = \frac{a_0}{2} + \sum_{n=1}^{\infty} [a_n \cos(n\Omega_1 t) + b_n \sin(n\Omega_1 t)] \quad (1)$$

или

$$f(t) = \frac{a_0}{2} + \sum_{n=1}^{\infty} A_n \cos(n\Omega_1 t - \psi_n). \quad (2)$$

Если сигнал чётен относительно $t = 0$, в тригонометрической записи остаются только члены с косинусами. Для нечетной наоборот.

Коэффициенты определяются по формуле

$$\begin{aligned} a_n &= \frac{2}{T} \int_{t_1}^{t_1+T} f(t) \cos(n\Omega_1 t) dt, \\ b_n &= \frac{2}{T} \int_{t_1}^{t_1+T} f(t) \sin(n\Omega_1 t) dt. \end{aligned} \quad (3)$$

Здесь t_1 — время, с которого мы начинаем отсчет.

Сравнив формулы (1) и (2) можно получить выражения для A_n и ψ_n :

$$\begin{aligned} A_n &= \sqrt{a_n^2 + b_n^2}, \\ \psi_n &= \arctan \frac{b_n}{a_n}. \end{aligned} \quad (4)$$

1.1. Периодические прямоугольные импульсы

Введем величину: $\Omega_1 = \frac{2\pi}{T}$, где T — период повторения импульсов.

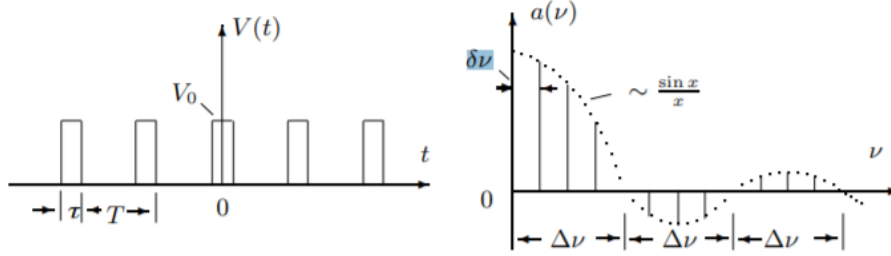


Рис. 1: График сигнала и его спектра (прямоугольный импульс)

Коэффициенты при косинусных составляющих будут равны

$$a_n = \frac{2}{T} \int_{-\tau/2}^{\tau/2} V_0 \cos(n\Omega_1 t) dt = 2V_0 \frac{\tau}{T} \frac{\sin(n\Omega_1 \tau/2)}{n\Omega_1 \tau/2} \sim \frac{\sin x}{x}. \quad (5)$$

Здесь V_0 - амплитуда сигнала.

Поскольку наша функция четная, то $b_n = 0$.

Пусть T кратно τ . Тогда введем ширину спектра, равную $\Delta\omega$ – расстояние от главного максимума до первого нуля огибающей, возникающего, как нетрудно убедиться при $n = \frac{2\pi}{\tau\Omega_1}$. При этом

$$\Delta\omega\tau \simeq 2\pi \Rightarrow \Delta\nu\Delta t \simeq 1. \quad (6)$$

1.2. Периодическая последовательность цугов

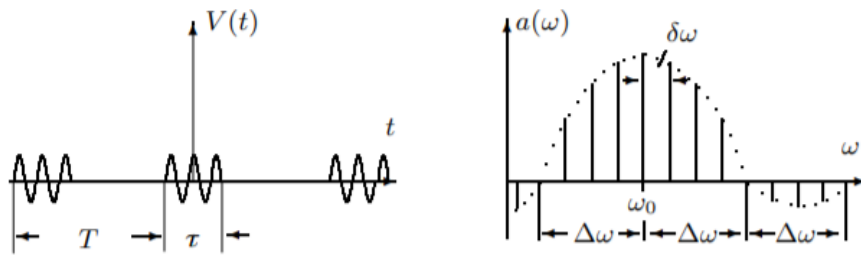


Рис. 2: График сигнала и его спектра (цуг)

Возьмём цуги колебания $V_0 \cos(\omega_0 t)$ с длительностью цуга τ и периодом повторений T .

Функция $f(t)$ снова является четной относительно $t = 0$. Коэффициент при n -ой гармонике согласно формуле (3) равен

$$a_n = \frac{2}{T} \int_{-\tau/2}^{\tau/2} V_0 \cos(\omega_0 t) \cdot \cos(n\Omega_1 t) dt = \quad (7)$$

$$= V_0 \frac{\tau}{T} \left(\frac{\sin\left[(\omega_0 - n\Omega_1) \frac{\tau}{2}\right]}{(\omega_0 - n\Omega_1) \frac{\tau}{2}} + \frac{\sin\left[(\omega_0 + n\Omega_1) \frac{\tau}{2}\right]}{(\omega_0 + n\Omega_1) \frac{\tau}{2}} \right).$$

Пусть T кратно τ . Тогда спектры последовательности прямоугольных сигналов и цугов аналогичны, но максимумы сдвинуты на ω_0 .

1.3. Амплитудно-модулированные колебания

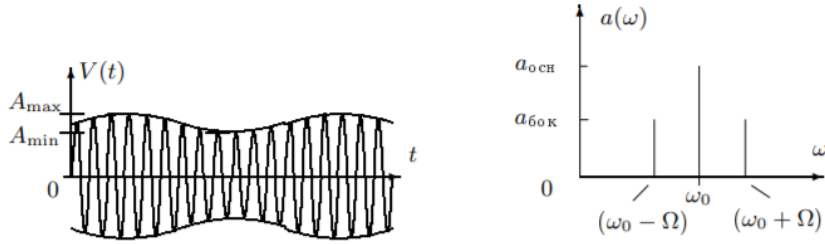


Рис. 3: Пример амплитудной модуляции

Рассмотрим гармонические колебания высокой частоты ω_0 , амплитуда которых медленно меняется по гармоническому закону с частотой $\Omega \ll \omega_0$.

$$f(t) = A_0 [1 + m \cos \Omega t] \cos \omega_0 t. \quad (8)$$

Коэффициент m называется *глубиной модуляции*. При $m < 1$ амплитуда меняется от минимальной $A_{min} = A_0(1 - m)$ до максимальной $A_{max} = A_0(1 + m)$. Глубина модуляции может быть представлена в виде

$$m = \frac{A_{max} - A_{min}}{A_{max} + A_{min}}. \quad (9)$$

Простым тригонометрическим преобразованием уравнения (8) можно найти спектр колебаний

$$f(t) = A_0 \cos \omega_0 t + \frac{A_0 m}{2} \cos(\omega_0 + \Omega) t + \frac{A_0 m}{2} \cos(\omega_0 - \Omega) t. \quad (10)$$

2. Обработка данных

2.1. Периодические прямоугольные импульсы

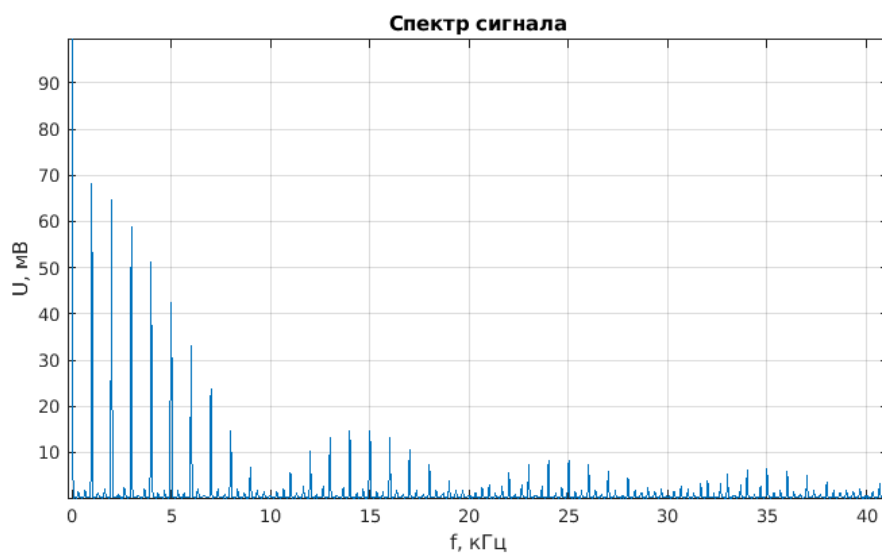
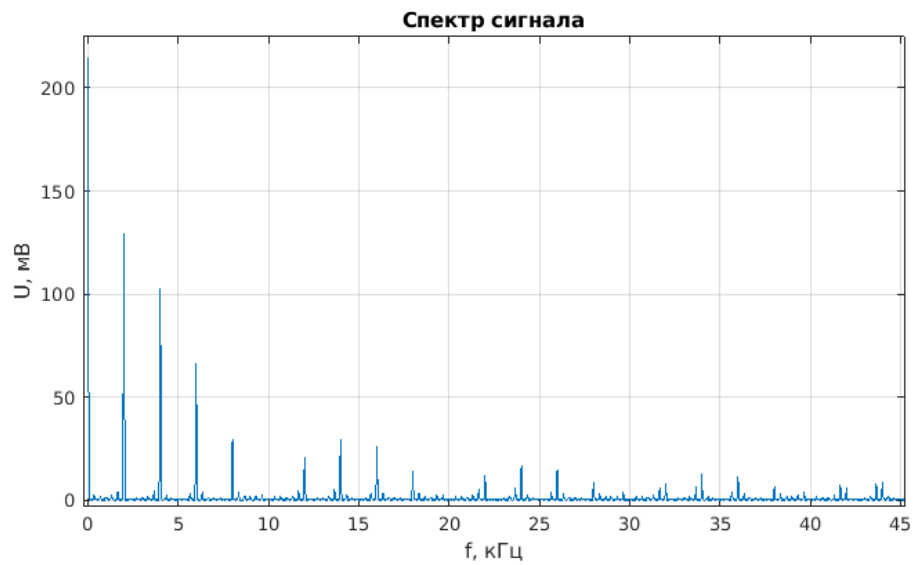
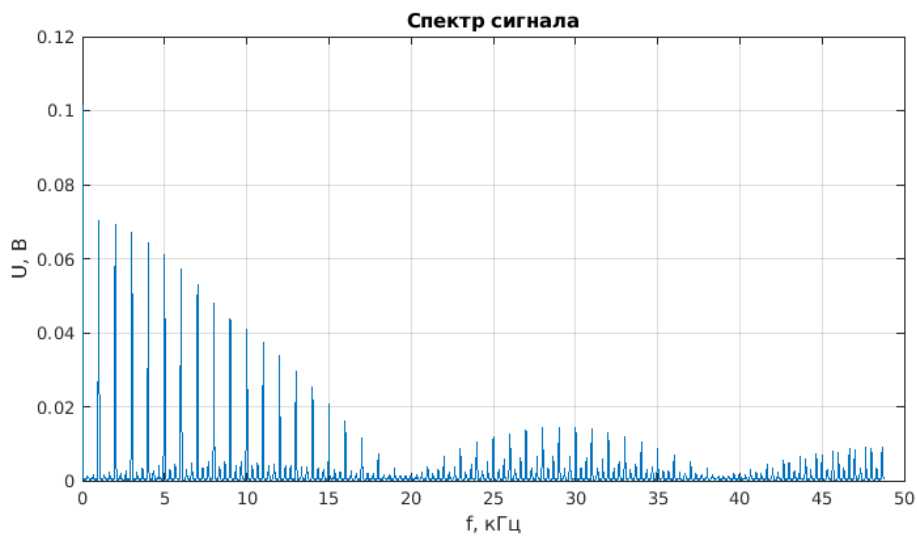


Рис. 4: Спектр при $f_{\text{повт}} = 1$ кГц, $\tau = 100$ мкс



Рис. 5: Спектр при $f_{\text{повт}} = 1$ кГц, $\tau = 200$ мкс

Рис. 6: Спектр при $f_{\text{повт}} = 2$ кГц, $\tau = 100$ мксРис. 7: Спектр при $f_{\text{повт}} = 1$ кГц, $\tau = 50$ мкс

При фиксированной частоте $f_{\text{повт}} = 1$ кГц будем менять τ , при этом будет меняться ширина спектра. Зафиксируем наблюдения в таблице.

Построим график зависимости $\Delta\nu(\frac{1}{\tau})$:

Из графика следует выполнение соотношения неопределённости для прямоугольных импульсов: $\Delta\nu \cdot \tau \approx 1$.

τ , мкс	40	60	80	100	120	140	160	180	200
$\Delta\nu$, кГц	25	16,5	12,5	10	8,5	7	6,5	5,5	5
$\frac{1}{\tau}$, кГц	25	16,66	12,5	10	8,33	7,14	6,25	5,56	5

Таблица 1: Зависимость ширины спектра от времени длительности импульса

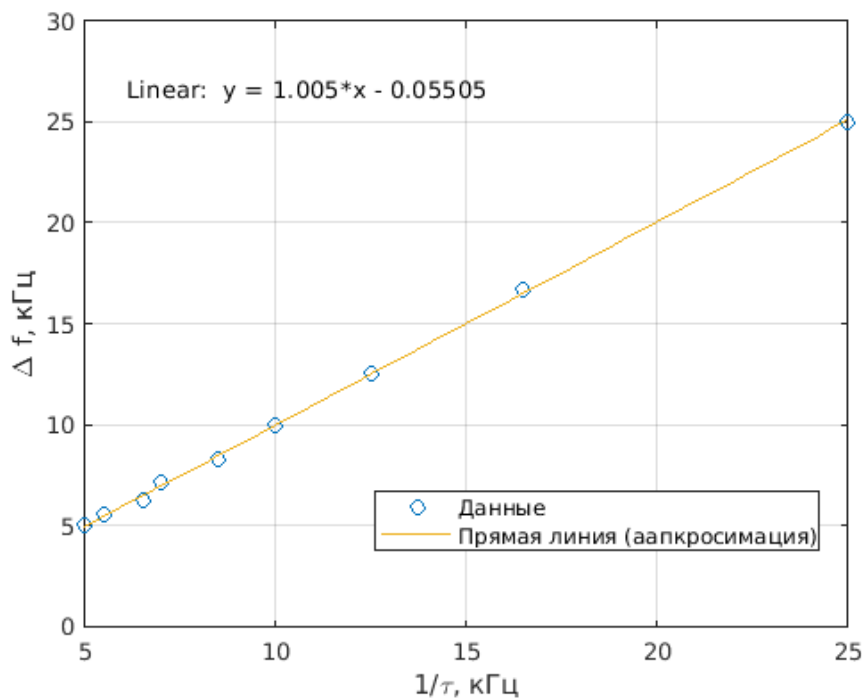


Рис. 8: Зависимость $\Delta\nu(\frac{1}{\tau})$

2.2. Периодическая последовательность цугов

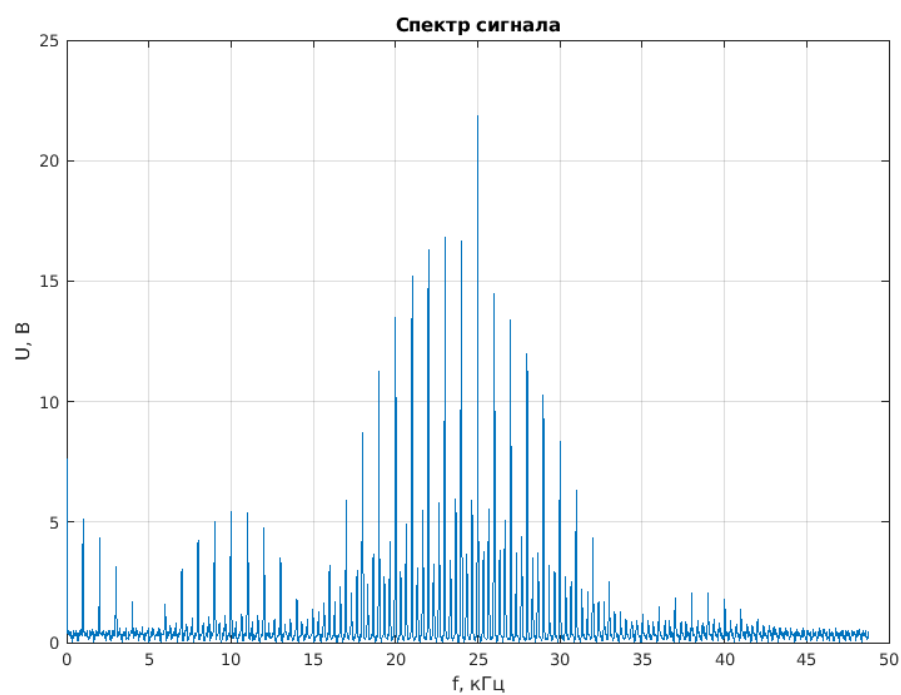
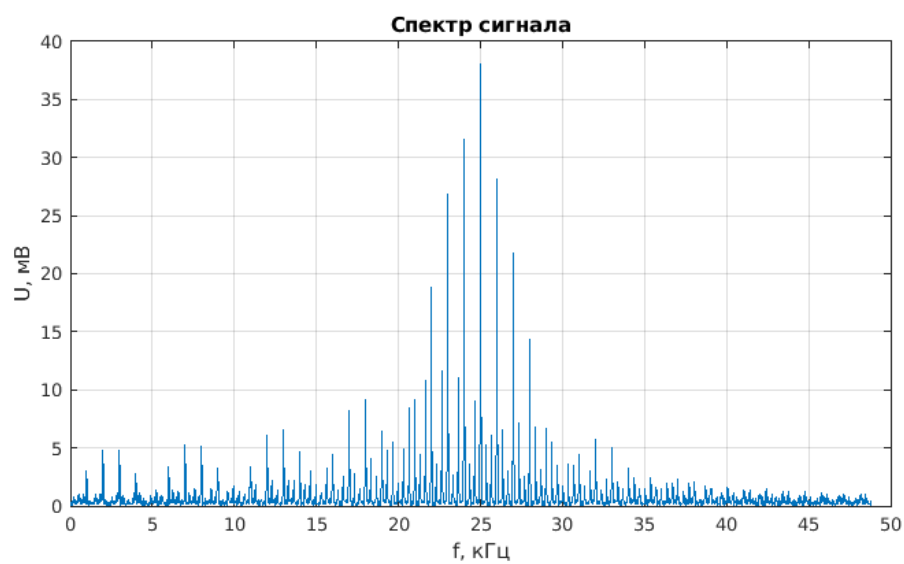
Установим несущую частоту цугов $\nu_0 = 25$ кГц, частота запуска цугов $f_{\text{повт}} = 1$ кГц с длительностью импульса $\tau = 100$ мкс.

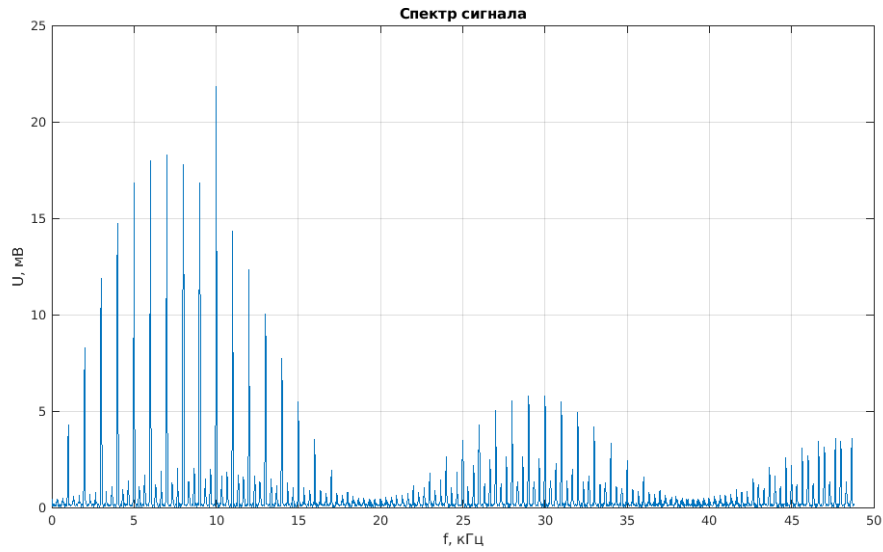
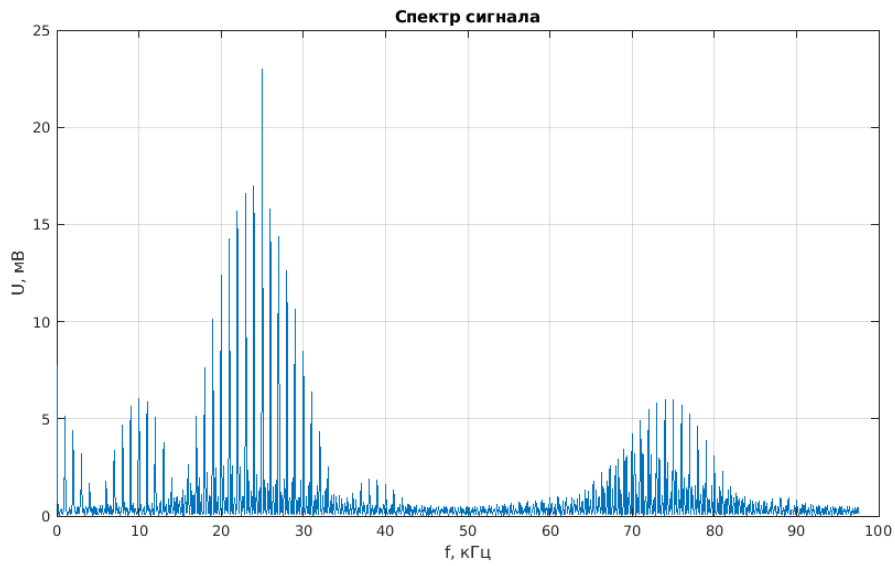
Проанализируем, как меняется спектр при изменении длительности импульса цуга.

Теперь проанализируем, как меняется спектр при изменении несущей частоты.

Установим несущую частоту $\nu_0 = 30$ кГц при $\tau = 100$ Гц, варьируя частоту запуска цугов. Снимем зависимость расстояния между соседними спектральными компонентами от частоты повторения цугов:

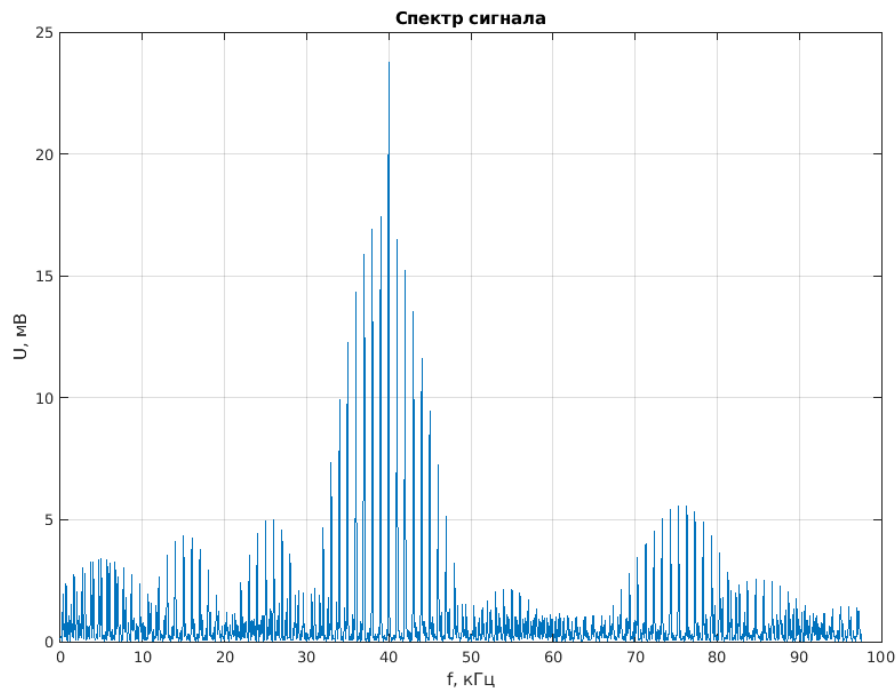
Данные по расстоянию между компонентами спектра получены по

Рис. 9: Спектр при $\nu_0 = 25$ кГц, $\tau = 100$ мксРис. 10: Спектр при $\nu_0 = 25$ кГц, $\tau = 200$ мкс

Рис. 11: Спектр при $\nu_0 = 10$ кГц, $\tau = 100$ мксРис. 12: Спектр при $\nu_0 = 25$ кГц, $\tau = 100$ мкс

более, чем 80 точек данных, и с точностью до погрешности генератора совпадают со значениями частоты повторения цугов $f_{\text{повт}}$.

Получается, что $\delta\nu = kf_{\text{повт}}$, где $k \approx 1$. Из теории следует, что значения двух величин совпадают, значит экспериментальная зависимость

Рис. 13: Спектр при $\nu_0 = 40$ кГц, $\tau = 100$ мкс

$\delta\nu$, кГц	0,5	1	2	4	5
$f_{\text{повт}}$, кГц	0,5	1	2	4	5

Таблица 2: Зависимость расстояния между компонентами спектра от частоты повторения цугов

верна.

И для прямоугольных импульсов, и для цугов при повышении частоты повторения импульсов увеличивается расстояние между компонентами спектра, а при повышении длительности импульса уменьшается ширина спектра. Разница между графиками спектров прямоугольного импульса и цуга в том, что спектр цуга смещён на значение несущей частоты в сторону поовышения частоты. То есть при устрмлении несущей частоты к нулю графики наложатся друг на друга.

2.3. Амплитудно-модулированные колебания

Установим синусоидальный сигнал частоты $\nu_0 = 25$ кГц, амплитуды 0,5 В. Подключим модуляцию к этому сигналу амплитуды 0,1 В и частоты

$\nu = 1$ кГц.

Меняя глубину модуляции до 1, измерим следующие значения:

$A_{min}, \text{ мВ}$	450	375	300	225	150	75	0
$A_{max}, \text{ мВ}$	550	625	700	775	850	925	1000
m	0,1	0,25	0,4	0,55	0,7	0,85	1
$A_{бок}, \text{ мВ}$	17	43	68	94	120	147	174
$A_{осн}, \text{ мВ}$	343	341	342	342	340	342	341
$\frac{A_{бок}}{A_{осн}}$	0,496	0,126	0,199	0,275	0,353	0,430	0,510

Таблица 3: Зависимость $\frac{A_{бок}}{A_{осн}}$ от m

Построим график зависимости.

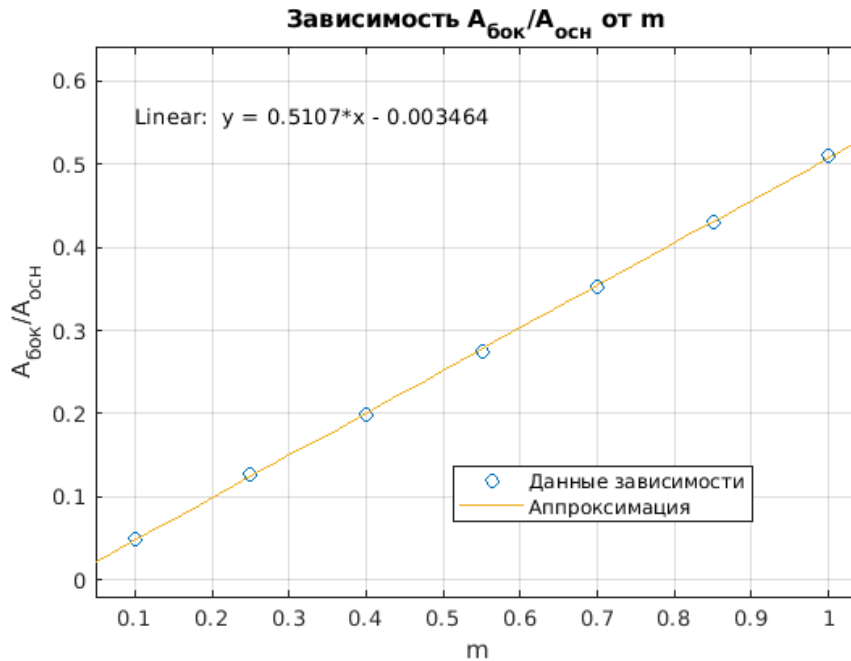


Рис. 14: График зависимости $\frac{A_{бок}}{A_{осн}}$ от m

Получилось значение $k = 0,511 \pm 0,021$, согласно же теории это значение должно равняться 0,5. То есть получилось верное соотношение амплитуд при различных модуляциях.

При увеличении частоты модуляции две боковые гармоники отдаляются от основной по величине на спектре.

2.4. Частотная модуляция

Установим синусоидальный сигнал с частотой $\nu = 25$ кГц с синусоидальной модуляцией частоты 1 кГц с девиацией частоты 100 Гц.

Меняя девиацию, снимем зависимость амплитуд гармоник от её значения.

Δf_m , кГц	0,1	0,2	0,3	0,4	0,5	0,6	0,7	0,8	0,9	1
A_0 , мВ	338	335	331	325	318	309	299	287	273	260
A_{+-1} , мВ	17	33	50	67	83	97	112	125	138	150
A_{+-2} , мВ	0	2	4	7	10	15	20	26	32	38
β	0,1	0,2	0,3	0,4	0,5	0,6	0,7	0,8	0,9	1
$\frac{A_{+-1}}{A_0}$	0,050	0,099	0,151	0,206	0,261	0,314	0,375	0,436	0,505	0,577

Построим график зависимости $\frac{A_{+-1}}{A_0}$ от β :

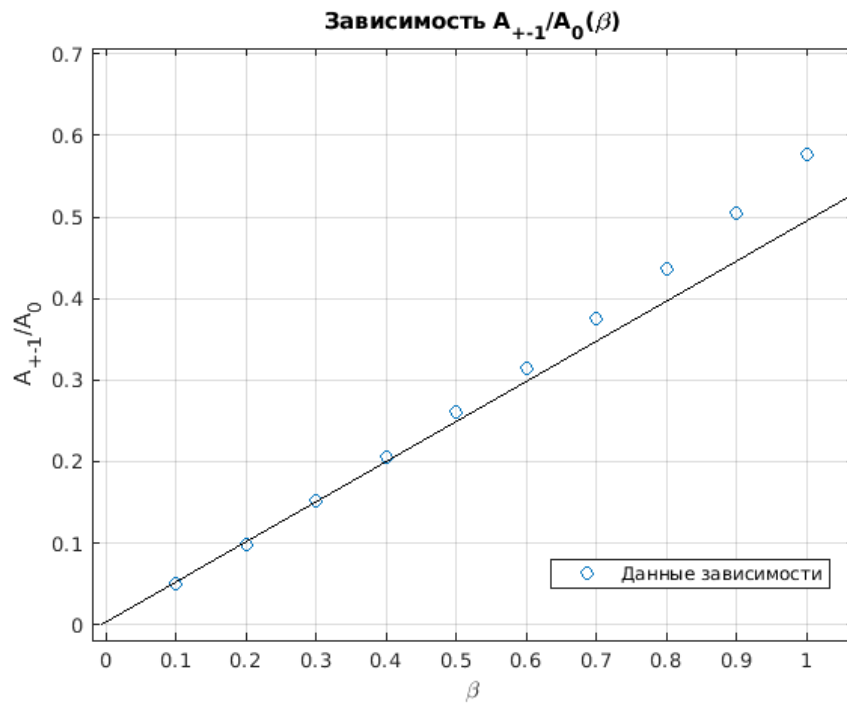


Рис. 15: График зависимости $\frac{A_{+-1}}{A_0}$ от β

Предельная кривая, построенная при $\beta \ll 1$, даёт отношение боковых гармоник к основной $k = 0,5$, что и соответствует теоретической формуле, выведенной в приближении $\beta \ll 1$. При этом значения $\beta \geq 0,9$ дают отклонение от построенной прямой больше, чем 10 %.

При дальнейшей увеличении частоты девиации получим более сложные спектры:

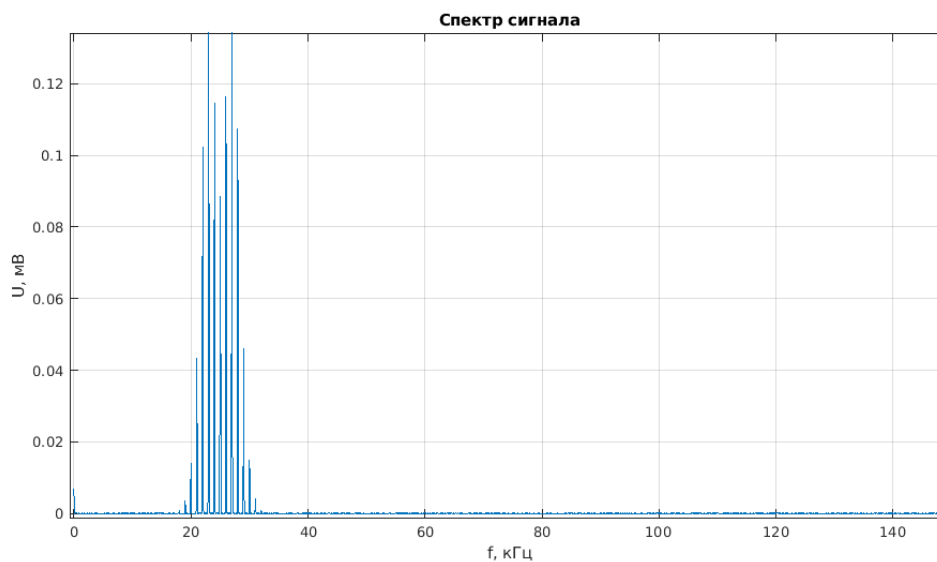


Рис. 16: Спектр при частоте девиации $\Delta f_m = 3$ кГц

3. Заключение

Таким образом теоретическое описание спектров исследуемых сигналов подтвердилось на основе их изучения с помощью генератора и осциллографа.

4. Список используемой литературы

- Лабораторный практикум по общей физике. Электричество и магнетизм
- [Описание лабораторных работ на кафедре общей физики МФТИ](#)

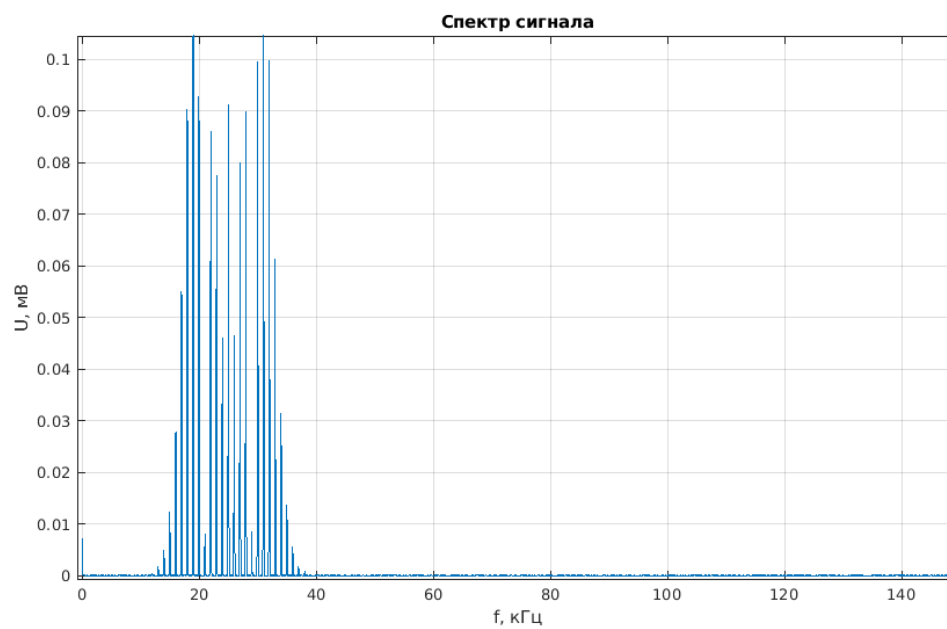


Рис. 17: Спектр при частоте девиации $\Delta f_m = 7,5$ кГц